

# НОВАЯ ФИЗИКА, МАССА $W$ -БОЗОНА, ПОЛУИНКЛЮЗИВНЫЕ РАСПРЕДЕЛЕНИЯ И НУЛИ ЗЕТА-ФУНКЦИИ

*Н. В. Махалдиани\**

Объединенный институт ядерных исследований, Дубна

Предложено современное определение новой физики. Рассчитана поправка к массе  $W$ -бозона. Неримановы нули зета-функции, предложенные в [9], проверены прямыми расчетами.

Contemporary definition of the New Physics is proposed. Correction to the mass of the  $W$  boson is calculated. Non-Riemannian zeros of the zeta function proposed in [9] are tested by direct calculations.

PACS: 11.15.-q; 11.30.Pb

Я всегда знал, что  $p$ -адические числа появятся в физике.

*Андрэ Вейль*

В природе встречаются в основном две структуры, однородная и изотропная [1] и иерархическая [2]. Однородные структуры описываются действительными числами с бесконечным числом цифр в дробной части и обычными архимедовыми метриками. Иерархические структуры описываются  $p$ -адическими числами с бесконечным числом цифр в целой части и неархимедовыми метриками [3]. Мы говорим о новой физике (НФ), когда открываем или предсказываем явление, которое запрещается Стандартной моделью (СМ) в принципе — это качественный уровень НФ — или мы находим существенную разницу между прецизионным вычислением наблюдаемой в СМ и соответствующим экспериментальным значением. Мы верим, что при высоких энергиях, за пределами СМ, НФ проявится, но точные эксперименты позволят находить следы НФ при уже достигнутых энергиях.

В 2017 г. коллаборация ATLAS в ЦЕРН опубликовала свой первый результат измерения массы  $W$ -бозона:  $m_W = (80370 \pm 19)$  МэВ. К тому времени это было наиболее точное измерение, и результат был в согласии с предсказанием СМ и со всеми другими измерениями. Позже коллаборация CDF опубликовала [4] новое измеренное значение массы  $W$ -бозона:

---

\* E-mail: mnv@jinr.ru

$m_W = (80,4335 \pm 0,0094)$  ГэВ  $= (80433,5 \pm 9,4)$  МэВ, которое превышает предсказание СМ [5],  $m_{SMW} = (80,375 \pm 0,006)$  ГэВ  $= (80375 \pm 6)$  МэВ, на уровне  $7\sigma$ . Мы обсуждаем возможность объяснения данного отклонения в модели составных хиггс- ( $m_H = 125$  ГэВ),  $W$ - ( $m_W = 80$  ГэВ) и  $Z$ - ( $m_Z = 91$  ГэВ) бозонов. Мы предлагаем минимальную суперсимметричную составную модель со значением валентной массы  $m \sim 40$  ГэВ. В этой модели  $W$  и  $H$  являются связанными состояниями.

Отметим, что свинец-208  $= {}_{82}^{208}\text{Pb}^{126}$ , самое тяжелое стабильное ядро, состоит из 82 протонов и 126 нейтронов. Совместное описание ядер с четными числами протонов и нейтронов и ядер с нечетным числом нуклонов возможно с помощью супералгебр. Состояния ядер с одинаковой энергией принадлежат одному супермультиплету [6].

В СМ и ее расширениях массу  $W$ -бозона можно вычислить с помощью формулы [7]

$$m_W^2 \left(1 - \frac{m_W^2}{m_Z^2}\right) = a(1 + \delta) = A, \quad a = \frac{\pi\alpha}{\sqrt{2}G_F}, \quad (1)$$

где  $G_F$  — константа Ферми;  $\alpha$  — константа тонкой структуры и  $\delta$  — сумма вкладов всех не КЭД петлевых диаграмм в амплитуду распада мюона. Решение (1) имеет вид

$$m_W^2 = (1 \pm \sqrt{1 - 4A/m_Z^2})m_Z^2/2. \quad (2)$$

Известному значению  $m_W$  соответствует

$$m_W^2 = (1 - \Delta)m_Z^2, \quad \Delta = 1 - \frac{m_W^2}{m_Z^2} = 0,223. \quad (3)$$

Для второго решения  $m_{W2}$

$$m_{W2}^2 = \Delta m_Z^2, \quad m_{W2} = \sqrt{\Delta} m_Z = 43,0 \text{ ГэВ}, \quad m_W^2 + m_{W2}^2 = m_Z^2. \quad (4)$$

Из последнего равенства второе значение массы определяется с точностью  $\delta m_{W2} \sim m_W/m_{W2} \delta m_W \sim 2\delta m_W$ . Тот же результат можем получить без введения  $\Delta$ . Сумма двух решений (2) равняется  $M_Z^2$ . Одно решение соответствует  $m_W^2$ . Другое решение дает  $m_{W2}^2$ , так что имеет место правило сумм для масс  $m_W^2 + m_{W2}^2 = m_Z^2$ , из которого мы определим значение  $m_{W2}$  и соответствующую точность. Уравнение (2) предсказывает оба значения масс. Величина второй массы определяется с такой же точностью, что и первая масса, и дает хорошую мотивацию для экспериментального поиска. Спрашивается, как вторая масса связана с расхождением между экспериментальными данными? Большую часть доминирующих радиационных поправок можно включить в сдвиг параметра  $\rho$  от значения низшего порядка  $\rho_{\text{Born}} = 1$ . В однопетлевом

приближении [8]

$$\begin{aligned}\delta\rho &= 3x_t = 3\frac{G_F m_t^2}{8\sqrt{2}\pi^2} \simeq 9,43 \cdot 10^{-3} \simeq 10^{-2}, \\ G_F &= 1,17 \cdot 10^{-5} \text{ ГэВ}^{-2}, \quad m_t = 173,2 \pm 0,7.\end{aligned}\quad (5)$$

Запишем уравнение (2) в следующей форме:

$$x(1-x) = B, \quad x = \frac{m_W^2}{m_Z^2}, \quad B = \frac{A}{m_Z^2}, \quad A = a(1+\delta), \quad a = \frac{\pi\alpha}{\sqrt{2}G_F}. \quad (6)$$

Увеличение значения массы  $m_W$  требует увеличения  $x$  и уменьшения  $\delta$ :

$$\begin{aligned}x_1 &= x + \epsilon, \quad \delta_1 = \delta - k\epsilon, \quad k = 2xm_Z^2/a = \frac{2\sqrt{2}G_F m_Z^2}{\pi\alpha} \simeq 0,08, \\ \epsilon &= \left(\frac{2m_W}{m_Z}\right) \frac{\Delta m_W}{m_Z} = 2 \cdot 80/91 \cdot (0,06/91) = 1,2 \cdot 10^{-3}, \\ \delta_1 - \delta &= -9,6 \cdot 10^{-5} \sim -10^{-4}.\end{aligned}\quad (7)$$

Однопетлевое значение  $\delta_1$  можно представить в виде

$$\delta_1 = \delta\alpha - \frac{\delta\rho}{m_Z^2/m_W^2 - 1} + \delta(m_H). \quad (8)$$

Учет второй массы приводит к выражению

$$\delta_1 = \delta\alpha - \delta\rho \left( \frac{m_Z^2}{m_W^2} - 1 + \frac{1}{m_Z^2/m_W^2 - 1} \right) + \delta(m_H). \quad (9)$$

Теперь уравнение (1) получает поправку в правой части:

$$\begin{aligned}x(1-x) &= A/m_Z^2(1+\delta_1-\epsilon), \quad \epsilon = \delta\rho(m_Z^2/m_W^2 - 1), \quad x = x_0 + \epsilon x_1, \\ x_0(1-x_0) &= A/m_Z^2(1+\delta_1), \quad x_0 = m_W^2/m_Z^2, \\ x_1 &= A/m_Z^2(1+\delta_1)/(2x_0-1) = \\ &= \frac{x_0(1-x_0)}{2x_0-1} = 0,139, \quad \epsilon x_1 = 0,00137 \cdot 0,139 \simeq 2 \cdot 10^{-4}, \\ m_W &\simeq m_{W_0}(1 + m_{Z_0}^2/m_{W_0}^2 \cdot 10^{-4}) = (80375 + 10) \text{ МэВ}.\end{aligned}$$

Масштаб масс нейтрино,  $m_n \leq 10^{-2}$  эВ, близок к масштабу наблюдаемой энергии вакуума  $\Lambda \sim m_n^4 \sim (10^{-11-19} m_p)^4 = 10^{-120} m_p^4$  [5]. Это указывает на связь между физикой частиц, космологией и квантовой гравитацией.

В суперсимметричных моделях в пределе низких температур [9]

$$Z(\beta) = 1 + O(e^{-\beta\omega}), \quad \beta = T^{-1}, \quad (10)$$

космологическая константа

$$\lambda \sim \ln Z \sim e^{-\beta\omega}, \quad \beta\omega \sim 10^2. \quad (11)$$

Исходя из наблюдаемых значений  $\beta$  и космологической константы, мы оцениваем  $\omega$ :

$$T = 3K = \frac{\text{эВ}}{3868} \sim 10^{-4} \text{ эВ}, \quad \omega \sim 10^{-2} \text{ эВ}. \quad (12)$$

Отрицательное биномиальное распределение (ОБР) определим как

$$P_k(n) = \frac{\Gamma(n+k)}{n!\Gamma(k)} (1-p)^k p^n, \quad \sum_{n \geq 0} P_k(n) = 1. \quad (13)$$

Распределение Бозе–Эйнштейна является частным случаем ОБР при  $k = 1$ . Для топологического сечения  $\sigma_n$  ОБР параметризуется так [10]:

$$P_k(n) = \frac{\sigma_n}{\sigma} = \frac{\Gamma(n+k)}{n!\Gamma(k)} \left( \frac{k}{k+\langle n \rangle} \right)^k \left( \frac{\langle n \rangle}{k+\langle n \rangle} \right)^n. \quad (14)$$

Бозе–эйнштейновское или геометрическое распределение является температурным распределением для одиночной системы. Важным свойством ОБР с параметрами  $\langle n \rangle$  и  $k$  является то, что оно получается из суммы  $k$  независимых случайных величин с бозе–эйнштейновским распределением:

$$\begin{aligned} P_1(n) &= P(n) = \frac{1}{\langle n \rangle + 1} \left( \frac{\langle n \rangle}{\langle n \rangle + 1} \right)^n = \\ &= (e^{\beta\omega/2} - e^{-\beta\omega/2}) e^{-\beta\omega(n+1/2)}, \quad T = \beta^{-1} = \frac{\omega}{\ln(1+1/\langle n \rangle)}, \\ \sum_{n \geq 0} P(n) &= 1, \quad \sum_{n \geq 0} nP(n) = \langle n \rangle = \frac{1}{e^{\beta\omega} - 1}, \quad T \simeq \omega \langle n \rangle, \quad \langle n \rangle \gg 1, \\ F_1(x) &= F(x) = \sum_n x^n P(n) = (1 + \langle n \rangle(1-x))^{-1}. \end{aligned} \quad (15)$$

Действительно, для  $N = n_1 + n_2 + \dots + n_k$ , независимых друг от друга  $n_i$ ,  $i = 1, \dots, k$ , распределение для  $N$

$$\begin{aligned} P_k(N) &= \sum_{n_1, \dots, n_k} \delta(N - \sum n_i) P(n_1) \cdots P(n_k), \\ F_k(x) &= \sum_n x^n P_k(n) = F(x)^k = \left( 1 + \frac{\langle N \rangle}{k} (1-x) \right)^{-k} = \\ &= \left( \frac{k}{k + \langle N \rangle} \right)^k \left( 1 - \frac{\langle N \rangle}{k + \langle N \rangle} x \right)^{-k}, \quad \langle N \rangle = k \langle n \rangle. \end{aligned} \quad (16)$$

Производящая функция ОБР сводится к производящей функции Бозе–Эйнштейна в степени  $k$ . Для производящей функции ОБР  $F_k(x) = F(k, \langle n \rangle)$  имеем соотношение

$$F(k, \langle n \rangle)^m = F(mk, m \langle n \rangle). \quad (17)$$

Можем записать это соотношение в замкнутой нелокальной форме

$$Q_q F = F^q, \quad Q_q = q^D, \quad D = \frac{kd}{dk} + \frac{\langle n \rangle d}{d \langle n \rangle} = \frac{x_1 d}{dx_1} + \frac{x_2 d}{dx_2}. \quad (18)$$

Рассмотрим значения  $q = n, n = 1, 2, 3, \dots$ , и возьмем сумму соответствующих уравнений (18), получим

$$\zeta(-D)F = \frac{F}{1-F}. \quad (19)$$

В случае ОБР мы знаем решение этого уравнения. Введем гамильтониан  $H$ , соответствующий спектру римановых нулей зета-функции:

$$\begin{aligned} -D_n &= \frac{n}{2} + iH_n, \quad H_n = i \left( \frac{n}{2} + D_n \right), \\ D_n &= x_1 \partial_1 + x_2 \partial_2 + \dots + x_n \partial_n, \quad H_n^+ = H_n = \sum_{m=1}^n H_1(x_m), \\ H_1 &= i \left( \frac{1}{2} + x \partial_x \right) = -\frac{1}{2} (x \hat{p} + \hat{p} x), \quad \hat{p} = -i \partial_x. \end{aligned} \quad (20)$$

Гамильтониан  $H = H_n$  эрмитов. Спектр этого гамильтониана состоит из действительных чисел. Случай с  $n = 1$  соответствует римановым нулям. Случай с  $n = 2$  соответствует ОБР:

$$\begin{aligned} \zeta(1 + iH_2)F &= \frac{F}{1-F} = (1-F)^{-1}F, \\ F(x_1, x_2; h) &= \left( 1 + \frac{x_1}{x_2} (1-h) \right)^{-x_2}. \end{aligned} \quad (21)$$

Произведем масштабное преобразование  $x_2 \rightarrow \lambda x_2$  и перейдем к пределу  $\lambda \rightarrow \infty$  в (21), получим

$$\begin{aligned} \zeta \left( \frac{1}{2} + iH(x) \right) e^{-(1-h)x} &= \frac{1}{e^{(1-h)x} - 1}, \\ H(x) &= i \left( \frac{1}{2} + x \partial_x \right) = -\frac{1}{2} (x \hat{p} + \hat{p} x), \quad H^+ = H. \end{aligned} \quad (22)$$

Для собственного состояния  $|n\rangle$  и соответствующего собственного значения  $E_n$  оператора  $H$  получим

$$\begin{aligned} \left\langle n \left| \zeta \left( \frac{1}{2} + iH(x) \right) e^{-(1-h)x} \right\rangle &= \\ &= \zeta \left( \frac{1}{2} - iE_n(x) \right) \left\langle n \left| e^{-(1-h)x} \right\rangle = \left\langle n \left| \frac{1}{e^{(1-h)x} - 1} \right\rangle. \end{aligned} \quad (23)$$

Для нулей зета-функции  $1/2 - iE_n$  собственные состояния  $|n\rangle$  удовлетворяют условиям

$$\left\langle n \left| \frac{1}{e^{(1-h)x} - 1} \right. \right\rangle = 0, \quad \left\langle n \left| e^{-(1-h)x} \right. \right\rangle \neq 0. \quad (24)$$

Для собственных состояний  $|n\rangle$  и соответствующих собственных значений  $E_n$  оператора  $H$  имеем

$$H|n\rangle = E_n|n\rangle, \quad H = i \left( \frac{1}{2} + x\partial_x \right), \quad |n\rangle = x^{s_n}, \quad s_n = -\frac{1}{2} - iE_n,$$

$$\left\langle n \left| \frac{1}{e^{(1-h)x} - 1} \right. \right\rangle = \int_0^\infty dx \frac{x^{s_n}}{e^{(1-h)x} - 1} = \zeta \left( \frac{1}{2} - iE_n \right) \Gamma \left( \frac{1}{2} - iE_n \right) / (1-h)^s, \quad (25)$$

$$\left\langle n \left| e^{-(1-h)x} \right. \right\rangle = \Gamma \left( \frac{1}{2} - iE_n \right) / (1-h)^s, \quad s = \frac{1}{2} - iE_n = s_n + 1,$$

$$\langle n|m\rangle = \int_0^\infty \frac{dx}{x x^{i(E_n - E_m)}} = 2\pi\delta(E_n - E_m).$$

Рассмотрим следующую формулу:

$$\frac{1}{1-x} = (1+x)(1+x^2)(1+x^4)\dots, \quad |x| < 1. \quad (26)$$

Эту формулу используем для анализа зета-функции

$$\zeta(s) = \sum_{n \geq 1} n^{-s} = \prod_p (1 - p^{-s})^{-1}, \quad \text{Re } s > 1, \quad (27)$$

когда  $x = x_n = p_n^{-s}$ . Рассмотрим следующую регуляризованную форму произведения в формуле (26):

$$p_k(x) \equiv (1+x+1/2^{k+1})(1+x^2)(1+x^4)\dots(1+x^{2^k}),$$

$$p_k(-1) = 1/2, \quad p_k(-1 - 1/2^{k+1}) = 0,$$

$$|1/(1-x_k)|_2 = \left| \frac{2^{k+1}}{1+2^{k+2}} \right|_2 = 1/2^{k+1} \rightarrow 0, \quad |0|_2 = 0, \quad |2^n|_2 = 2^{-n}, \quad (28)$$

$$x = x_k = -1 - 1/2^{k+1} = -1 - \epsilon_k \rightarrow -1, \quad k \rightarrow \infty,$$

$$s_k(p, l) = -\frac{\ln(1+\epsilon_k)}{\ln p} + i \frac{\pi(2l+1)}{\ln p} \rightarrow i \frac{\pi(2l+1)}{\ln p}.$$

Мы имеем нули [9] при  $s = s_k(p_n) = (2k + 1)\pi i / \ln(p_n)$ , где  $p_n$  — простое число,  $k$  — целое число,  $|p^n|_p = p^{-n}$  —  $p$ -адическая норма [3]. Для проверки этих неримановых нулей используем формулу

$$\zeta(s) = \frac{\Gamma(1+s)^{-1}}{2^{1-s} - 2^{2(1-s)}} \int_0^\infty \frac{t^s dt}{\cosh^2 t}, \quad \text{Re } s > -1. \quad (29)$$

Оценим точность вычислений:

$$I = \int_0^\infty \frac{dt}{\cosh^2 t} = 1, \quad I > I = \int_0^{100} \frac{dt}{\cosh^2 t} = 1,0000000000000049?! \quad (30)$$

Этот интеграл, вычисленный с помощью математики, указывает на типичную ошибку  $O(10^{-15})$  в следующих вычислениях. К примеру, для нуля  $s_3(2) = i7\pi / \log 2$

$$\begin{aligned} I &= \int_0^{100} \frac{t^{s_3(2)} dt}{\cosh^2 t} = \text{RI} + i \text{Im}, \quad |I| < 1, \\ \text{RI} &= \int_0^{100} \frac{\cos(7\pi / \log 2 \log t) dt}{\cosh^2 t} = -8,37655 \cdot 10^{-16}, \\ \text{Im} &= \int_0^{100} \frac{\sin(7\pi / \log 2 \log t) dt}{\cosh^2 t} = -1,0894 \cdot 10^{-15}. \end{aligned} \quad (31)$$

Для следующего примера нуля  $s(3)_4 = i9\pi / \log 3$

$$\begin{aligned} I &= \int_0^{100} \frac{t^{s(3)_4} dt}{\cosh^2 t} = \text{RI} + i \text{Im}, \quad |I| < 1, \\ \text{RI} &= \int_0^{100} \frac{\cos(9\pi / \log 3 \log t) dt}{\cosh^2 t} = -3,64292 \cdot 10^{-16}, \\ \text{Im} &= \int_0^{100} \frac{\sin(9\pi / \log 3 \log t) dt}{\cosh^2 t} = -2,09728 \cdot 10^{-15}, \\ s(3)_4 &= i9\pi / \log 3 = 25,74i. \end{aligned} \quad (32)$$

Температура, определенная в (15), дает оценку температуры кварк-глюонной (глюквар) жидкости, когда излучаются адроны. Если возьмем  $\omega = 10$  МэВ, то значению  $T \simeq T_c \simeq 200$  МэВ соответствует  $\langle n \rangle \simeq 20$ . Из численных экспериментов мы знаем, что температура деконфайнмента

$T_c \simeq 150\text{--}200$  МэВ. Множественность 20 хороша для приближенной формулы. Так что мы можем оценить масштаб соответствующей энергии. Коллективный, квазичастичный спектр глюквар-фазы можно характеризовать этой оценкой. Сингулярность в поведении  $\langle n \rangle$  может указывать на соответствующий фазовый переход и позволяет оценивать соответствующую температуру и энергию  $\omega$ . Мы видели, что излучение черного тела находится в основе ОБР. Универсальность ОБР в закономерностях рождения адронов аналогична универсальности излучения черного тела.

Излучение черного тела используется для измерения температуры тела. Спектр излучения для размерности пространства  $D$  определяется выражением [11]

$$f(x, D) = C_D \frac{x^D}{e^x - 1}, \quad x = \frac{h\nu}{kT}. \quad (33)$$

Фрактальную размерность как функцию  $x$  определим из условия максимума распределения (33) (рисунок)

$$D(x) = \frac{x}{1 - e^{-x}}, \quad x = \frac{h\nu}{kT}. \quad (34)$$

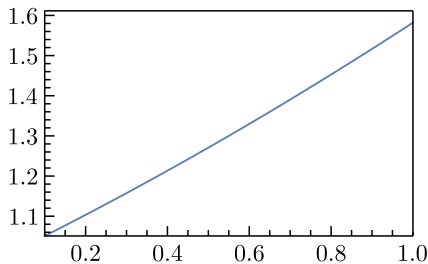
В свое время Хагедорн предложил эмпирическую формулу описания данных рождения адронов как функции от поперечного импульса  $p_T$  в широком диапазоне [12]:

$$\frac{d\sigma}{dp} = c \left( 1 + \frac{p_T}{p_0} \right)^{-k}, \quad \bar{d}p \equiv \frac{d^3p}{E(p)}, \quad (35)$$

где  $c, p_0$  и  $k$  — фитируемые параметры. Эта функция при малых  $p_T$  переходит в экспоненту, при больших  $p_T$  — в степенную функцию.

Этот спектр часто описывается распределением типа Цаллиса [13, 14]:

$$\frac{d\sigma}{dp} = c_q \left[ 1 + (q-1) \frac{p_T}{T} \right]^{-\frac{1}{q-1}}, \quad (36)$$



Фрактальная размерность  $D(x)$  черного тела

с константой нормировки  $c_q$ , температурой  $T$  и безразмерным параметром  $q > 1$ .

Если мы положим  $q = 1 + 1/k$  [15] и

$$\frac{p_T}{T} = \langle n(p_T) \rangle, \quad T = \frac{p_T}{\langle n(p_T) \rangle}, \quad (37)$$

то установим связь с ОБР для нормированных полуинклюзивных распределений:

$$\begin{aligned} \frac{d\sigma_n}{\bar{d}p} \Big/ \frac{d\sigma}{\bar{d}p} &= P_k(n), \\ \frac{d\sigma_0}{\bar{d}p} \Big/ \frac{d\sigma}{\bar{d}p} &= \left( 1 + \frac{\langle n(p_T) \rangle}{k} \right)^{-k}, \quad \bar{d}p \equiv \frac{d^3p}{E(p)}. \end{aligned} \quad (38)$$

Энтропия Реньи определяется так:

$$S_R = \frac{\ln \sum_k p_k^q}{1 - q}. \quad (39)$$

Реньи назвал эту величину мерой информации степени  $q$ , ассоциированной с распределением вероятности  $p = (p_1, \dots, p_n)$ . Энтропия Цаллиса определяется так:

$$S_T = \frac{\sum_k p_k (p_k^{q-1} - 1)}{1 - q}. \quad (40)$$

Между энтропиями Реньи и Цаллиса имеется такая связь:

$$S_R = \frac{\ln(1 + (1 - q)S_T)}{1 - q}, \quad S_T = \frac{e^{(1-q)S_R} - 1}{1 - q}. \quad (41)$$

Если система состоит из двух независимых частей  $A$  и  $B$ :  $p_{AB} = p_A p_B$ ,

$$\begin{aligned} S_T(AB) &= S_T(A) + S_T(B) + (1 - q)S_T(A)S_T(B), \\ S_R(AB) &= S_R(A) + S_R(B). \end{aligned} \quad (42)$$

Равновесное статистическое описание можно основать на статистической сумме  $Z(\beta)$  или функции плотности состояний  $\rho(E)$ . Эти величины связаны так:

$$\begin{aligned} Z(\beta) &= \int_0^\infty \rho(E) e^{-\beta E} dE, \quad \rho(E) = \frac{1}{2\pi} \int_{-i\infty}^{i\infty} Z(\beta) e^{E\beta} d\beta = \\ &= \int_0^\infty dE' \rho(E') \frac{1}{2\pi} \int_{-i\infty}^{i\infty} e^{\beta(E-E')} d\beta = \rho(E). \end{aligned} \quad (43)$$

Для статистической суммы и плотности состояний имеем соотношения

$$\begin{aligned} Z(\beta) &= \text{tr} e^{-\beta \hat{H}} = \sum_n e^{-\beta E_n} = \int_0^\infty dE \sum_n \delta(E - E_n) e^{-\beta E} = \\ &= \int_0^\infty \rho(E) e^{-\beta E} dE, \quad \rho(E) = \sum_n \delta(E - E_n) = \text{tr} \delta(E - \hat{H}) = \\ &= \frac{1}{2\pi} \int_{-i\infty}^{i\infty} d\beta e^{\beta E} \text{tr} e^{-\beta \hat{H}}, \quad \text{tr} e^{-\beta \hat{H}} = \int d\phi d\psi e^{-S}. \end{aligned}$$

Для бозонных  $\phi$  и фермионных  $\psi$  полей имеем периодические и антипериодические граничные условия соответственно:

$$S = S(\phi, \psi) = \int_0^\beta dt \int d^D x L(\phi, \psi), \quad (44)$$

$$\phi(\beta, x) = \phi(0, x), \quad \psi(\beta, x) = -\psi(0, x).$$

Для протяженных частиц, адронов, ядер, ... при высоких энергиях

$$\rho(E) = aE^b e^{\beta_H E}, \quad Z(\beta) \sim \int_0^\infty E^b e^{(\beta_H - \beta)E} dE. \quad (45)$$

Статистическая сумма для  $T > T_H = 1/\beta_H$  расходится, имеется максимальная температура  $T_H$ . Если  $b < -2$ , то средняя энергия системы остается конечной при  $T = T_H$ :

$$\langle E \rangle \sim \int_0^E E^{b+1} e^{(\beta_H - \beta)E} dE \sim E^{b+2}, \quad (46)$$

и система может прийти в критическую точку с  $T = T_H$ . Вопрос: что находится за критической точкой? В случае адронов (например, в случае адронной струны) мы знаем ответ: кварк-глюонное (глюквар) состояние. В случае фундаментальной струны природа нового состояния остается открытой.

При высоких температурах, плотностях, ... достаточно классического статистического описания. Действительно, для примера, в случае одной частицы

$$\begin{aligned} Z(\beta) &= \text{tr} e^{-\beta \hat{H}} = \int dp dx e^{-S}, \quad S = \int_0^\beta (p\dot{x} - H) dt, \\ Z &\sim \int d^D p d^D x e^{-\beta(p^2/2m + V(x))} = Z_0 U(\beta), \end{aligned}$$

$$Z_0 = \int d^D p e^{-\beta p^2/2m} = \Omega_D/2a^{-D/2}\Gamma(D/2 + 1),$$

$$a = \frac{\beta}{2m}, \quad E_0 = -\partial_\beta \ln Z_0 = DT/2,$$

где  $Z_0$  представляет универсальную, кинематическую, стандартную часть статистической суммы;  $U$  представляет динамическую часть:

$$U(\beta) = \int d^D x e^{-\beta V(x)}. \quad (47)$$

Для корнелльского потенциала кваркония

$$V_k = -\frac{a}{r} + br, \quad (48)$$

когда статистический, энтропийный потенциал растет как  $S = cr$ , при температуре  $T_H = b/c$ , имеет место переход от фазы конфайнмента к фазе глюквар.

#### СПИСОК ЛИТЕРАТУРЫ

1. *Weinberg S.* Gravitation and Cosmology. New York, 1972.
2. *Okun L. B.* Leptons and Quarks. North Holland, 1982.
3. *Koblitz N.*  $p$ -Adic Numbers,  $p$ -Adic Analysis, and Zeta-Functions. New York; Heidelberg; Berlin: Springer-Verlag, 1977.
4. *Aaltonen T. et al. (CDF Collab.)* // Science. 2022. V. 376. P. 170.
5. *Patrignani G. et al. (Particle Data Group)* // Chin. Phys. C. 2016. V. 40. P. 100001.
6. *Lachello F.* // Rev. Mod. Phys. 1993. V. 65. P. 569.
7. *Awramik M., Czakon M., Freitas A., Weiglein G.* Precise Prediction for the  $W$ -Boson Mass in the Standard Model // Phys. Rev. D. 2004. V. 69. P. 053006.
8. *Veltman M. J. G.* // Nucl. Phys. B. 1977. V. 123. P. 89.
9. *Makhaldiani N.* New Physics,  $p$ -Adic Nature of the Vacuum Energy and Cosmological Constant // Phys. Part. Nucl. 2023. V. 54. P. 1053.
10. *Makhaldiani N. V.* // Phys. At. Nucl. 2013. V. 76. P. 1169.
11. *Landsberg P. T., De Vos A.* The Stefan–Boltzmann Constant in  $n$ -Dimensional Space // J. Phys. A: Math. Gen. 1989. V. 22. P. 1073–1084.
12. *Hagedorn R.* // Riv. Nuovo Cim. 1983. V. 6. P. 1.
13. *Tsallis C.* Introduction to Nonextensive Statistical Mechanics. Berlin: Springer, 2009.
14. *Parvan A. S., Bhattacharyya T.* Remarks on the Phenomenological Tsallis Distributions and Their Link with the Tsallis Statistics // J. Phys. A: Math. Theor. 2021. V. 54. P. 325004.
15. *Botet R. et al.* The Thermodynamic Limit in the Non-Extensive Thermostatistics // Physica A. 2004. V. 344. P. 403.